

تقييم الضياعات في المحرك التدريسي  
الناتجة عن التوافقيات العليا عند تغذيته  
عن طريق مبدلات الجهد التأثيرستورية

الدكتور المهندس علي محمود  
كلية الهندسة الميكانيكية والكهربائية  
جامعة تشرين

عند تنظيم سرعة المحركات الكهربائية عن طريق تغيير جهد التغذية أو تردد التغذية  
تستخدم المبدلات التأثيرستورية التي تعمل على حجز جزء من موجة الجهد لجيبي المطبق على  
طور المحرك وهذا يعني أن الجهد المطبق سيشكل نظام جهد دوري لا جيبي يمكن تحليله حسب  
سلسلة فورييه إلى مجموعة من المركبات الجيبية ذات الترددات المختلفة تسمى التوافقيات العليا  
لجهد المطبق وسيقابل ذلك عند عمل نظام القيادة على سرعة وسطية مستقرة، ظهور نبضات في  
إشارة العزم الكهرومغناطيسية وإشارة السرعة، وذلك على طول إشارة جهد التغذية.

لتقييم عمل المحرك الكهربائي في الأنظمة الدورية اللاجيبيية أجرينا دراسة على محرك  
تدريسي ذي دائرة مقصورة نوع 2y3 (4A 100) مستخدمنا فيها طريقة الائحة العامة للآلة  
الكهربائية بالافتراض أن هذه الآلة مغذاة بوسطة مبنية تأثيرستورية فلابد تؤمن جهد خرج على  
شكل نبضة عريضة متدرجة. وقد لوحظ أن ظهور التوافقيات يؤدي إلى ارتفاع قيمة الضياعات في  
المotor الناتجة عن التوافقيات العليا وقد سُتخدم الحاسوب الشخصي في هذا البحث لتقييم طريقة  
حساب الضياعات في حيد المحرك عند تغذيته بجهد لجيبي. وقد وضع برنامج بلغة البرازك  
(BASIC) يعبر عن طريقة الحساب. وكانت الغاية من هذا البحث المساهمة في تقييم الآثار  
الناتجة عن التوافقيات العليا على عمل محركات القيادة الكهربائية وتقييم برنامج لحساب  
الضياعات الناتجة عن هذه التوافقيات يمكن أن يستخدم من أجل أي محرك آخر من نفس النوع،  
ويمكن الاستفادة منه في عمليات البحث العلمي التي تختص بتنقية مستوى أداء أنظمة القيادة  
الكهربائية وتوكيد النتائج التي حصلنا عليها أهمية هذا البحث للطلاب وللباحثين في هذا المجال.

موصلة بشكل مثلثي). انطلاقاً من ذلك فان شعاع الجهد لثابت المحرك يمكن كتابته بالصيغة العامة التالية:

$$U_s(N) = \frac{2}{\sqrt{3}} U_d e^{j\delta N} = U_s e^{j\frac{\pi}{6}(2N-1)}$$

حيث:  $N = 1, 2, \dots, 6$  رقم مجال التوصيل للثاييرستور.

δ: الزاوية بين المحور الحقيقي وشعاع الجهد.

من العلاقة السابقة نستنتج أن قيمة شعاع الجهد ( $V_s$ ) عند تغذية المحرك من مبدلة ثاييرستورية ذات زاوية فتح لا تتعلق بـ  $N$  وتدور بشكل نبضي بخطوة زاوية قدرها  $\frac{\pi}{3}$  ست مرات خلال دور.

بحل جملة معادلات الأشعة العامة لجهد الثابت مع جملة معادلات المحرك التالية:

$$\begin{bmatrix} V_{s\alpha} \\ V_{s\beta} \\ V_{r\alpha} \\ V_{r\beta} \end{bmatrix} = \begin{bmatrix} RS + DL & 0 & DL_m & 0 \\ 0 & R_s + DL_s & 0 & DL_m \\ DI_m & wrL_m & Rr + DL_r & wrL_r \\ -wrL_m & DL_m & -wrL_m & Rr + DL_r \end{bmatrix} \begin{bmatrix} is_\alpha \\ is_\beta \\ ir_\alpha \\ ir_\beta \end{bmatrix}$$

لملفات الدائر.

عامل  $L_s = L_s + L_m$

المقاومة التحربيضية الكلية لملفات الثابت

## دراسة الأنظمة الدورية للمدارات التحربيضية بالطريقة المهرمونية الشهائية.

عند تغذية المحرك التحربيضي عن طريق مبدلات الجهد، التي يتم تنفيذها باستخدام دارات الابدال الطورية يتم اعادة وصل الثاييرستورات 6 مرات خلال الدور الواحد. ونتيجة لذلك فإنه عند عمل نظام القيادة على سرعة مستقرة وسطى ستظهر نبضات على اشارة العزم الكهرومغناطيسي واشارة السرعة وذلك على طول اشارة جهد التغذية.

لتقييم عمل المحرك الكهربائي في الأنظمة الدورية استخدمت في هذه الدراسة طريقة الأشعة العامة للألة الكهربائية.

إذا كانت زاوية التحكم  $\gamma = \pi$  فإن أحد الجهدود الطورية  $V_b, V_a, V_c$  سيكون مساوياً للصفر، أما الجهدان الباقيان فلهم نفس القيمة المطلقة ومساوية لـ  $V_d$  ولكن بجهة معاكسة (هذا عند كون الحمولة

حيث:  $R_{SO}$  المقاومة الحقيقية لملفات الثابت.  
 $R_t$  المقاومة الحقيقة

$$U_a = \sum_{v=1}^{\infty} U_{vm} \cos(v\omega t + \gamma_v) \quad (1)$$

حيث:

$U_{vm}$  طولية التوافقية.

$\gamma_v$  زاوية الطور الابتدائية

يمكن أيضا كتابة معادلات الجهد

للطور C, B في حالة العمل المستقر للمحرك وذلك بشكل مشابه للطور A ومزاحمين عنه بالزاويتين  $1/3$  و  $2/3$  من الدور.

$$U_b = \sum_{v=1}^{\infty} U_{vm} \cos \left[ v \left( \omega t - \frac{2\pi}{3} \right) + \gamma_v \right] \quad (2)$$

$$U_c = \sum_{v=1}^{\infty} U_{vm} \cos \left[ v \left( \omega t - \frac{4\pi}{3} \right) + \gamma_v \right]$$

عند ذلك وانطلاقاً من

$$\text{العلاقة: } U_s = \frac{2}{3} (U_a + aU_b + a^2 U_c)$$

يمكن كتابة العلاقة العامة لجهد الثابت

كما يلي:

$$U_s = \frac{2}{3} \left\{ \sum_{v=1}^{\infty} U_{vm} \cos(v\omega t + \gamma_v) + a \sum_{v=1}^{\infty} U_{vm} \cos \left[ v\omega t + \frac{2\pi}{3} + \gamma_v \right] + a^2 \left[ \sum_{v=1}^{\infty} U_{vm} \cos \left( v\omega t - \frac{4\pi}{3} + \gamma_v \right) \right] \right\} \quad (3)$$

والمعادلة (3) السابقة يمكن إعادة

كتابتها على الشكل التالي

والمكونة من المقاومة الناتجة عن التحرير المتشتت ( $L_s$ ) والتحرير الأساسي ( $L_m$ ).

بالحل المشترك السابق يمكن أن نحصل على معادلات أشعة (متجهات) التيار في الثابت وال دائرة وبالتالي العزم الكهرومغناطيسي بواسطة العلاقة التالية:

$$M_3 = \frac{3}{2} L_m (i_{r\alpha} i_{s\alpha} - i_{s\alpha} i_{r\alpha})$$

يجب التنويه بأن الحساب لن يكون بهذه السهولة عند كون زاوية الفتح أصغر من  $(\pi)$  مثلا.  $\delta = \frac{2\pi}{3}$  في هذه الحالة تظهر صعوبة في وضع المعادلات المعتمدة لجهد بسبب تبعية زاوية فتح التاييرستورات لخواص الحمولة.

إن استخدام الطريقة الهرمونية تسمح بتحديد القيمة الوسطية للعزم الكهرومغناطيسي وكذلك القيمة الفعالة للتيار خلال دور وذلك عند كون جهد التغذية ذات شكل غير جيري.

إن استخدام الطريقة الهرمونية الشعاعية تسمح بدراسة عمل المحرك في النظام الدوري وذلك بهدف ايجاد القيم اللحظية للعزم الكهرومغناطيسي وكذلك لتيار الثابت وال دائرة وسرعة دوران المحرك.

إن الجهد غير الجيري لطور المحرك يمكن كتابته على الشكل التالي

$$U_s = \frac{2}{3} \sum_{v=1}^{\infty} U_{vm} [\cos(v\omega t + \gamma_v) + \\ a \left( \cos(v\omega t - \frac{2\pi}{3}) + \gamma_v \right) + a^2 \left( \cos(v\omega t - \frac{4\pi}{3}) + \gamma_v \right)] \quad \dots (4.)$$

و بما أن تأخذ القيم  $v = 6n+1$  و  $(n=0,1,2,\dots)$  فان  $(v = 1, 7, 13, \dots)$ . وهكذا يمكن كتابة المقادير التي داخل الأقواس في العلاقة السابقة كما يلي:

$$\begin{aligned} \cos\left(v\left(\omega t - \frac{2\pi}{3}\right) + \gamma_v\right) &= \cos\left(v\omega t - \frac{2\pi}{3} + \gamma_v\right) \\ \cos\left(v\left(\omega t - \frac{4\pi}{3}\right) + \gamma_v\right) &= \cos\left(v\omega t - \frac{4\pi}{3} + \gamma_v\right) \end{aligned} \quad (5)$$

أما عند التوافقيات  $v = 6n-1$  حيث  $(n=1,2,3,\dots)$  أي  $(v = 5, 11, 17, \dots)$  تصبح القيم التي في داخل الأقواس على الشكل التالي:

$$\begin{aligned} \cos\left(v\left(\omega t - \frac{2\pi}{3}\right) + \gamma_v\right) &= \cos\left(v\omega t + \frac{2\pi}{3} + \gamma_v\right) \\ \cos\left(v\left(\omega t - \frac{4\pi}{3}\right) + \gamma_v\right) &= \cos\left(v\omega t + \frac{4\pi}{3} + \gamma_v\right) \end{aligned} \quad (6)$$

الجهد ذات الرقم  $v$ .

لتسهيل إنشاء شعاع الجهد  $U_s$  لكل حد من حدود المجاميع من العلاقة (7) يمكن كتابته على الشكل:

$$\bar{U}_v = U_{vm} e^{\pm j(v\omega t + \gamma_v)} = Re(\bar{U}_v) \mp j Im(\bar{U}_v) \quad (8)$$

حيث:

$$\Re(Re(U_v)) = U_{vm} \cos(v\omega t + \gamma_v) \quad .u.$$

مركبة الحقيقة للشعاع

$$\Im(Re(U_v)) = U_{vm} \sin(v\omega t + \gamma_v) \quad .u.$$

مركبة التخيلية للشعاع

وهكذا فإن كل مركبة توافقية من مركبات منحني الجهد تشكل شعاعا عاما خاصا بها له طولية واتجاه وسرعة دوران وهذه السرعة تكون ثابتة من أجل درجة توافقية معينة. وبالتالي يمكن كتابة معادلة شعاع الجهد العام على الشكل التالي:

$$\bar{U}_s = \sum_{v=1}^{\infty} \bar{U}_v \quad (7)$$

حيث:  $U_v$  الشعاع المعمم لتوافقية

للمحرك.

ويتمكن الانتقال من المعادلة التفاضلية  
للمحرك والمكتوبة بالنسبة للمحاور الثابتة  $\alpha$   
 $\beta$ - إلى الشكل العقدي بعد الأخذ بعين  
الاعتبار العلاقات التالية:

ان اشارة (+) في العلاقة (8) تعود  
للتوافقيات ذات التعاقب الموجب والاشارة (-)  
تعد للتوافقيات ذات التعاقب العكسي.  
كما أن شعاع الجهد المعمم للتوافقيات  
يتتفق مع علاقة الجهد الزمنية الطورية

$$\left. \begin{array}{l} \bar{U}_s = U_{sx} + jU_{sy}, \quad \bar{U}_r = U_{rx} + jU_{ry} \\ \bar{i}_s = i_{sx} + ji_{sy}, \quad \bar{i}_r = i_{rx} + ji_{ry} \\ \bar{\phi}_{sx} = \phi_{sx} + j\phi_{sy}, \quad \bar{\phi}_r = \phi_{rx} + j\phi_{ry} \end{array} \right] (***)$$

حيث x المحور الحقيقي، y المحور التخييلي.  
يمكن أن نكتب:

$$\left. \begin{array}{l} \bar{U}_s = \bar{i}_s R_s + L_s \frac{d\bar{i}_s}{dt} + L_m \frac{d\bar{i}_r}{dt} \\ \bar{U}_r = \bar{i}_r R_r + L_m \frac{d\bar{i}_s}{dt} + L_r \frac{d\bar{i}_r}{dt} + j\omega(i_s L_m + i_r L_r) \end{array} \right] (9)$$

وبالانتقال إلى الشكل العقدي نجد:

$$\left. \begin{array}{l} \dot{U}_s = \dot{I}_s R_s + j\omega \dot{I}_s L_s + j\omega \dot{I}_r L_m \\ \dot{U}_r = \dot{I}_r R_r + j\omega \dot{I}_s L_m + j\omega \dot{I}_r L_r - j\omega_i \dot{I}_s L_m - j\omega_r \dot{I}_r L_r \end{array} \right] (10)$$

من أجل المحرك ذي الدائير المقصور يمكن أن نكتب العلاقة (10) على الشكل التالي:

$$\left. \begin{array}{l} \dot{U}_s = \dot{I}_s R_s + j\dot{I}_s Y_s + j\dot{I}_r X_m \\ 0 = IR + JIX(1 - \Omega) + jIX(1 - \Omega) \end{array} \right] (11)$$

حيث:  $\Omega = \omega_r / \omega$  السرعة الزاوية النسبية  
للدائرة.

وإذا أخذنا بعين الاعتبار أن ( $s = \omega - 1$ ) نحصل على المعادلات المعروفة التالية من أجل المحرك التجريبي ذي الدائر المقصور:

$$\begin{aligned} \dot{U}_s &= \dot{I}_s R_s + j \dot{I}_s X_{sv} + j \dot{I}_s X_m + j \dot{I}_r X_m \\ 0 &= \dot{I}_r \frac{R_r}{s} + j \dot{I}_s X_m + j \dot{I}_r X_m + j \dot{I}_{rv} X_{rv} \end{aligned} \quad (12)$$

ويمكن كتابة المعادلات (12) من أجل التوافقيات العليا على الشكل

$$\begin{aligned} \dot{U}_{sv} &= \dot{I}_{sv} R_s + j \dot{I}_{sv} X_{sv} + j \dot{I}_{sv} X_{mv} + j \dot{I}_{rv} X_{mv} \\ 0 &= \dot{I}_{rv} \frac{R_r}{s_r} + j \dot{I}_{sv} X_{mv} + j \dot{I}_r X_m + j \dot{I}_{rv} X_{rv} \end{aligned} \quad (13)$$

المحرك  $i_s$  من العلاقة التالية:

$$\hat{i}_s = \sum_{v=1}^{\infty} \hat{i}_{sv} \quad (15)$$

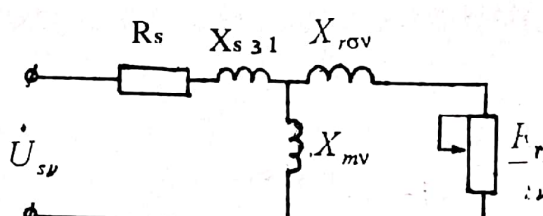
حيث  $i_s$  الشعاع المعمم لتيار التوافقية.

ويمكن حساب الممانعة المكافئة الطورية للمحرك التجريبي من أجل التوافقية الأولى بمساعدة الدارة المكافئة المبينة في الشكل

حيث:  $s_v$  انزلاق الدائر بالنسبة للحقل الناتج عن التوافقية ذات الدرجة  $v$  للجهد ويتم تحديده من العلاقة التالية:

$$S_v = \frac{v\omega \pm \omega r}{v\omega} = 1 \pm \frac{\Omega}{v} \quad (14)$$

وتعود اشارة (-) في العلاقة (14) إلى التوافقيات ذات التتابع الموجب، كما تعود اشارة (+) إلى التوافقيات ذات التتابع العكسي. ويتحدد الشعاع العام لتيار ثابت



شكل (1)

الدارة المكافئة لأحد أطوار المحرك التجريبي من أجل التوافقيات العليا

$$Z_{31} = R_{31} + jX_{31} \quad (16)$$

$$R_{31} = R_s + \frac{(R_r/S)X_m^2}{(R_r/S)^2 + (X_{r\sigma} + X_m)^2} \quad (17)$$

$$X_{31} = X_{s\sigma} + X_m \frac{(R_r/S)^2 + X_{r\sigma}^2 + X_{r\sigma}X_m}{(R_r/S)^2 + (X_{r\sigma} + X_m)^2} \quad (18)$$

وبشكل مشابه يمكن أن نكتب العلاقات التالية من أجل التوافقية : v

$$Z_{3\sigma} = R_{3v} + jX_{3\sigma} \quad (19)$$

حيث :

$$R_{3v} = R_s + v^2 \frac{(R_r/S_r)X_m}{(R_r/S_r)^2 + (vX_{r\sigma} + vX_m)^2} \quad (20)$$

$$X_{3v} = v \left[ X_{s\sigma} + X_m \frac{(R_r/S_v)^2 + (vX_{r\sigma})^2 + v^2 X_{r\sigma}X_m}{(R_s/S_v)^2 + (vX_{rv} + vX_m)^2} \right] \quad (21)$$

أو :

$$Z_{3v} = Z_{3v} e^{j\phi_v} \quad (22)$$

$$\dot{Z}_{3v} = \sqrt{R_{3v}^2 + X_{3v}^2} \quad (23)$$

$$\phi_v = \arctan \frac{X_{3v}}{R_{3v}} \quad (24)$$

معلمات دارة الثابت :

$$\dot{Z}_{sv} = R_s + jvX_{sv} = Z_{sv}e^{j\varphi_v} \quad (25)$$

$$Z_{sv} = \sqrt{R_s^2 + (vX_{sv})^2} \quad (26)$$

$$\varphi_{sv} = \arctan \frac{vX_{sv}}{R_s} \quad (27)$$

ممانعات دارة الدائر:

$$\dot{Z}_{rv} = \frac{R_r}{S_v} + jvX_{rv} = Z_{rv}e^{j\varphi_v} \quad (28)$$

$$Z_{rv} = \sqrt{(R_r/S_v)^2 + (vX_{rv})^2} \quad (29)$$

$$\varphi_{rv} = \arctan \frac{vX_{rv}S_v}{R_r} \quad (30)$$

ويكتب تيار الثابت من أجل التوافقية على الشكل التالي:

$$\begin{aligned} i_{sv} &= \frac{U_{svm}}{Z_{sv}} e^{\pm j(v\omega t - \varphi_v)} \\ &= \frac{U_{svm}}{Z_{sv}} [ \cos(v\omega t - \varphi_v) \pm j \sin(v\omega t - \varphi_v) ] \quad (31) \\ &= Re(i_{sv}) \pm jm(i_{sv}) \end{aligned}$$

ولاجداد قيمة تيار الدائر نحدد قيمة القوة المحركة الكهربائية:

$$\begin{aligned} \bar{E}_v &= \bar{U}_{sv} - i_{sv}Z_{sv} \\ &= U_{svm} \left[ e^{\pm jv\omega t} - \frac{Z_{sv}}{Z_{sv}} e^{\pm(jv\omega t - \varphi_v + \varphi_{sv})} \right] \quad (32) \end{aligned}$$

وعندئذ يتم تحديد تيار الدائر من العلاقة:

$$\begin{aligned}
 i_{rv} &= \frac{\bar{E}_v}{Z_{rv}} = \frac{U_{sm}}{Z_{rv}} \left[ e^{\pm j(v\omega t - \varphi_{rv})} - \frac{Z_{sv}}{Z_{3v}} e^{\pm j(v\omega t - \varphi_v + \varphi_{sv} + \varphi_{rv})} \right] \\
 &= \frac{U_{sm}}{Z_{rv}} \left[ \cos(v\omega t - \varphi_{rv}) - \frac{Z_{sv}}{Z_{3v}} \cos(v\omega t - \varphi_v + \varphi_{sv} + \varphi_{rv}) \right] \pm \\
 &\quad j \frac{U_{sm}}{Z_{rv}} \left[ \sin(v\omega t - \varphi_{rv}) - \frac{Z_{sv}}{Z_{3v}} \sin(v\omega t - \varphi_v + \varphi_{sv} + \varphi_{rv}) \right] \\
 &= \operatorname{Re}(i_{rv}) \pm j \operatorname{Im}(i_{rv})
 \end{aligned} \tag{33}$$

وفي العلاقة السابقة اشارة (+) تعود التوافقيات ذات التعاقب الموجب، واثارة (-) تعود الى التوافقيات ذات التعاقب العكسي.  
من العلاقة (15) والعلاقة (31) نجد:

$$\begin{aligned}
 \bar{i}_s &= i_{s\alpha} + ji_{s\beta} \\
 &= \sum_{v=1}^{\infty} i_{s\alpha v} + j \sum_{v=1}^{\infty} i_{s\beta v}
 \end{aligned} \tag{34}$$

حيث:

$$\sum_{v=1}^{\infty} i_{s\alpha v} = \sum_{v=1}^{6n+1} \frac{U_{smv}}{Z_{3v}} \cos(v\omega t - \varphi_v) \tag{35}$$

حيث ( $n = 0, 1, 2, \dots$ ) و  $v > 0$  دواماً

$$\sum_{v=1}^{\infty} i_{s\beta v} = \sum_{v=1}^{6n+1} \frac{U_{smv}}{Z_{3v}} \sin(v\omega t - \varphi_v) - \sum_{v=5}^{6n-1} \frac{U_{smv}}{Z_{3v}} \sin(v\omega t - \varphi_v) \tag{36}$$

وبشكل مشابه نجد تيار الدائر على الشكل:

$$\bar{i}_r = i_{r\alpha} + ji_{r\beta} = \sum_{v=1}^{\infty} i_{r\alpha v} + j \sum_{v=1}^{\infty} i_{r\beta v} \tag{37}$$

حيث:

$$\sum_{v=1}^{\infty} i_{rav} = \sum_{v=1}^{6n+1} \frac{U_{\text{av}}}{Z_{rv}} \left[ \cos(\nu\omega t - \varphi_{rv}) - \frac{Z_{sv}}{Z_{3v}} \cos(\nu\omega t - \varphi_v + \varphi_{sv} - \varphi_{rv}) \right] \quad (38)$$

$$\begin{aligned} \sum_{v=1}^{\infty} i_{r\beta v} &= \sum_{v=1}^{6n+1} \frac{U_{\text{av}}}{Z_{rv}} \left[ \sin(\nu\omega t - \varphi_{rv}) - \frac{Z_{sv}}{Z_{3v}} \sin(\nu\omega t - \varphi_v + \varphi_{sv} - \beta_{rv}) \right] \\ &- \sum_{v=1}^{6n+1} \frac{U_{\text{av}}}{Z_{rv}} \left[ \sin(\nu\omega t - \varphi_{rv}) - \frac{Z_{sv}}{Z_{3v}} \sin(\nu\omega t - \varphi_{rv}) \right. \\ &\left. - \frac{Z_{sv}}{Z_{3v}} \sin(\nu\omega t - \varphi_v + \varphi_{sv} - \varphi_{rv}) \right] \end{aligned} \quad (39)$$

ولاجاد العزم الكهرومغناطيسي للمحرك نستخدم المعادلة التالية:

$$M_3 = \frac{3}{2} P \cdot Lm \cdot \bar{i}_r \cdot \bar{i}_s = \frac{3}{2} P \cdot Lm (i_{r\alpha} i_{s\beta} - i_{r\beta} i_{s\alpha}) \quad (40)$$

حيث  $p$  عدد أزواج الأقطاب للمحرك.

باستبدال التيارات الواردة في العلاقة (40) بقيمها من العلاقات (34) و (37) نجد أن:

$$M_3 = P \cdot Lm \left[ \sum_{v=1}^{6n+1} i_{rav} \sum_{v=1}^{6n+1} i_{s\beta v} - \sum_{v=1}^{6n+1} i_{r\beta v} \sum_{v=1}^{6n+1} i_{s\alpha v} \right] \quad (41)$$

ان العلاقة (41) لحساب العزم الكهرومغناطيسي تتضمن مجاميع التأثير المتبادل للتواقيع ذات الرقم الواحد بين الثابت وال دائري وكذلك مجاميع التأثير المتبادل للتواقيع ذات الأرقام المختلفة للثابت وال دائري، وبذلك يمكن اعادة كتابة العلاقة (41) على الشكل التالي:

$$M_3 = M_0 + M' \quad (42)$$

حيث:

$$M_0 = \frac{3}{2} P \cdot Lm \sum_{v=1}^{6n+1} (i_{rav} i_{s\beta v} - i_{r\beta v} i_{s\alpha v}) \quad (43)$$

$$M_0 = M_1 + M_2 + M_3 + \dots + M_{6n+1} = \sum_{v=1}^{6n+1} M_v \quad (44)$$

$W_r > 0$  يمكن استخدام مبدأ التراكم والذي يسمح بحساب سرعة الدوران الزاوية للمحرك كمجموع حددين:

$$\omega_r = \omega_{cp} + \omega_D \quad (47)$$

حيث  $\omega_{cp}$  القيمة الوسطية لسرعة والناتجة عن العزم  $M_0$ .  $\omega_D$  مركبة السرعة الناتجة عن العزم المتباعد "النطي"  $M^*$  وتحديد هاتين المركبتين للسرعة نضع في معادلة الحركة (46) قيمة عزم المحرك من العلاقة (42) والسرعة الزاوية من العلاقة (47)، وعندئذ يمكن تجزئة معادلة الحركة إلى معادلتين (مركبتين)، مركبة مستمرة وتساوي:

$$M_0 - M_c = J \frac{d\omega_{cp}}{dt} \quad (48)$$

ومركبة نسبية تساوي:

$$M^* = J \frac{d\omega_D}{dt} \quad (49)$$

ولتقدير ترددات السرعة "نبضاتها"

$M_0$  يأخذ بعين الاعتبار التأثير المتبادل للتواتقيات ذات الرقم الواحد بين الثابت والدائر فقط.

وتبقى قيمة  $M_0$  ثابتة على طول دور كامل لجهد التفريغ، وتحدد قيمة السرعة المستقرة للدائرة.

$M^*$  مركبة العزم الناتجة عن التأثير المتبادل بين التواتقيات ذات الرقم المختلف بين الثابت والدائر ويمكن حسابها انتلاقاً من العلاقة (42):

$$M^* = M_3 - M_0 \quad (45)$$

سرعة الدوران للدائرة  $Wr$  يمكن إيجادها من العلاقة التالية:

$$M_3 - M_c = J \frac{d\omega_r}{dt} \quad (46)$$

: عزم الحمولة статический على محور المحرك.

$J$ : عزم القصور الذاتي لجملة القيادة الكهربائية.

وعندما يتم التعبير عن العزم باستخدام العلاقة (45) من أجل الحالات

ويؤدي ظهور التوافقيات الغليا إلى ارتفاع قيمة الضياعات في ملفات الثابت والدائر وكذلك في حديد المحرك. إن ذلك يستدعي تقييم أنظمة القيادة الآلية التي تستخدم مثل هذه المبدلات انطلاقاً من شكل موجة الجهد على خرج المبدلة القالبة. إن تشكيل جهد المبدلات القالبة مبني على أساس طرق تشكيل النبضات العريضة. لقد تم تقييم مثل هذه الطرق من قبل بعض الباحثين وتبين معهم على سبيل المثال أن حذف بعض التوافقيات يؤدي إلى ازدياد طولية التوافقيات الأخرى، ولكن لم يتم حساب ذلك كعامل من عوامل توافقيات الجهد.

والطريقة الأكثر جدو لتقدير جودة الجهد هي تقييم مستوى الضياعات في المحرك والناتجة عن التوافقيات العليا. ومن المهم أيضاً تقييم عامل التوافقيات للتيار. وفيما يلي تقدم طريقة لحساب الضياعات في نحاس المحرك التحريري عند تغذيته بجهد غير جيري وذلك باستخدام الحاسوب الشخصي.

#### المهنيات:

- 1- الدارة المكافحة للمحرك التحريري ذي الدائر المقصورة.
  - 2- منحنى جهد الخرج للمبدلة القالبة،
- شكل(2).

نهم تغير العزم خلال فترة زمنية محددة  $t_n$  من العلاقة (49) نجد:

(50)

$$\int_0^t M^* dt = J d\omega_D = \bar{J} \Delta \omega_D = M_{cp}^* \cdot t_n$$

ومنه نجد قيمة الترايدات خلال الفترة الزمنية  $T_n$  كما يلي:

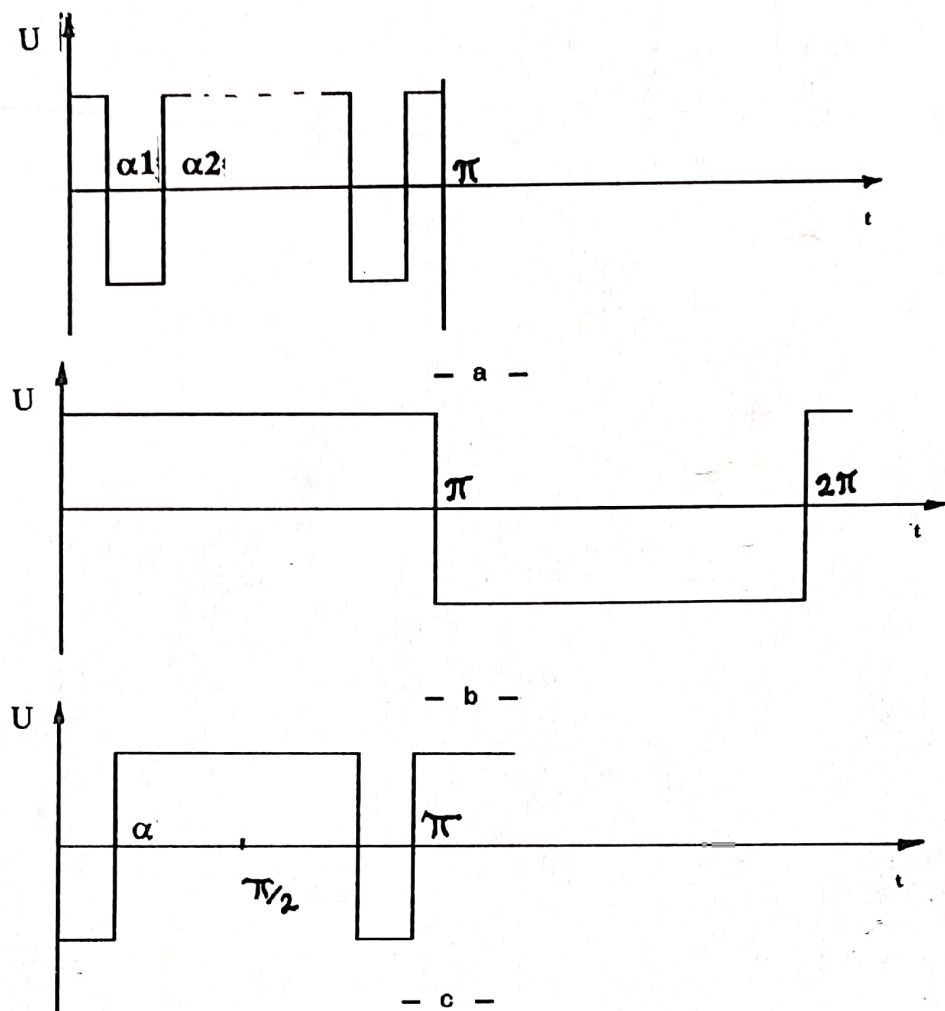
(51)

$$\omega_D = \sum_1^N \Delta \omega_D = \frac{1}{J} \sum_1^N M_{cp} \cdot t_n$$

حيث  $T_n / t_n = N$ : عدد الفترات الزمنية ذات الطول  $t_n$ .

**مخطط وبرنامج حساب الضياعات في المحرك التحريري عند تغذيته من مبدلة جهد قالبة:**

تستخدم مبدلة «الجهد القالبة لتغذية المحرك التحريري ذي الدائر المقصورة» وتؤمن جهد خرج على شكل نبضة عريضة متدرجة. مثل هذه الموجة للجهد تحتوي بالإضافة إلى التوافقية الأولى على كل التوافقيات العليا ذات الدرجة الفردية في الأنظمة ثلاثة الطور، وتختلف أيضاً التوافقية الثالثة.



شكل (2)

التقديرات:

- ١ - عدم حساب الضياعات الحديدية.
- ٢ - المقاومة الحقيقة ل ملفات المحرك مستقلة عن التردد.
- ٣ - سرعة دوران المحرك التحريري ثابتة.

التقديرات المذكورة أعلاه ستؤدي إلى عدم الدقة في حساب الضياعات، ولكن ذلك لا يؤثر على مبدأ الحساب. ويمكن إدخال ذلك في البرامج ببساطة.

سيتم الحساب وفق التسلسل التالي:

تحسب طولية جهد الخرج من أجل التوافقية الأولى من العلاقة التالية

$$U_{1m} = \frac{4U_d}{\pi} \left[ 1 + 2 \sum_{i=1}^m (-1)^i \cos(\alpha_i) \right] \quad (52)$$

والحساب سيتم من أجل القيمة العظمى للتوافقية الأولى من جهد الخرج الأسمى  
 $V_{1m}=2V_{ph}$  وكذلك من أجل القيمة الأسمية للاتزلاق .  
وعندئذ يمكن حساب الجهد على دخل المبدلة  $V$  من العلاقة (52) :

$$U_d = \frac{U_{1m} \cdot \pi}{4 \left[ 1 + 2 \left( \sum_{i=1}^{\infty} (-1)^i \cos \alpha_i \right) \right]} \quad (53)$$

قيمة الطويلة لجهد الخرج من التوافقية  $v$  تحسب من العلاقة التالية:

$$U_{vm} = \frac{4U_d}{v\pi} \left[ 1 + 2 \sum_{i=1}^m (-1)^i \cos v\alpha_i \right] \quad (54)$$

.  $v = 6n + 1$   $n = 0, 1, 2, \dots$

التوافقيات ذات الدرجة ( $v = 6n + 1$ ) تشكل تعاقباً مباشراً لنظام الجهد أما التوافقيات ذات الدرجة ( $v = 6n - 1$ ) فتشكل تعاقباً عكسيأ.

وتحدد قيمة الممانعات لطور من المحرك التحربي ومن أجل التوافقية الأولى من العلاقة:

$$R_{31} = R_s + \frac{(Rr/S) \cdot X_m^2}{(Rr/S)^2 + (X_{r\sigma} + X_m)^2} \quad (55)$$

$$X_{31} = X_{s\sigma} + X_m \frac{(Rr/S)^2 + X_{r\sigma}^2 + X_{r\sigma}X_m}{(Rr/S)^2 + (X_{r\sigma} + X_m)^2} \quad (56)$$

$$Z_{31} = R_{31} + jX_{31} \quad (57)$$

وبشكل مشابه من أجل التوافقية  $v$  نجد:

$$R_{3v} = R_s + v^2 \frac{(Rr/S_r) \cdot X_m}{(Rr/S_r)^2 + (vX_{r\sigma} + vX_m)^2} \quad (58)$$

$$X_{31} = X_{ss} + X_m \frac{(Rr/S)^2 + X_{rs}^2 + X_{rs}X_m}{(Rr/S)^2 + (X_{rs} + X_m)^2} \quad (59)$$

وعندئذ يتم حساب تيار الدائر من العلاقة:

$$I_{rv} = \frac{E_v}{Z_{rv}} \quad (64)$$

وبذلك يمكن حساب ضياعات الثابت والدائر النحاسية كما يلي:

$$\Delta P_{rv} = 3I_{rv} \cdot R_{rv} \quad (65)$$

$$\Delta P_{sv} = 3I_{sv} \cdot R_{sv} \quad (66)$$

الضياعات الكلية من أجل التوافقية تعطى بالعلاقة:

$$\Delta P_v = \Delta P_{rv} + \Delta P_{sv} \quad (67)$$

ويمكن تقدير الجهد من خلال عامل التوافقيات للجهد وعامل التوافقيات للتيار وذلك حسب ما يلي:

$$K_U = \sqrt{\frac{\sum_{i=1}^m (U_{vm}/v)^2}{U_{lm}^2}} \quad (68)$$

$$S_v = \frac{v\omega_0 \mp \omega_r}{v\omega} \quad \text{حيث:}$$

وتعود الاشارة (-) إلى التوافقيات ذات التعاقب الموجب والاشارة (+) إلى التوافقيات ذات التعاقب العكسي.

معانعة دارة الثابت للmotor:

$$Z_{sv} = \sqrt{R_s^2 + (vX_{ss})^2} \quad (60)$$

معانعة دارة الدائر للmotor:

$$(61) \quad Z_{rv} = \sqrt{(R_v/S)^2 + (vX_{rs})^2}$$

تيار الثابت من أجل التوافقية يمكن تحديده من العلاقة:

$$I_{sv} = \frac{U_{vm}}{Z_{sv}} \quad (62)$$

ولاجداد تيار الدائر لابد من تحديد قيمة القوة المحركة الكهربائية:

$$E_v = U_{vm} - I_{sv} \cdot Z_{sv} \quad (63)$$

ويمكن حساب الخطأ في قيمة التيار وعامل التوافقيات للتيار بالاعتماد على القيمة الدقيقة التقريرية للحساب كما يلي:

$$\Delta I = \frac{I_{sv} - I'_{sv}}{I_{sv}} \cdot 100 \quad (77)$$

$$\Delta K = \frac{K_i - K'_i}{K_i} \quad (78)$$

ان مخطط حساب الضياعات مبين على الشكل (3).

$$K_i = \sqrt{\frac{\sum_{i=1}^m I_{sv}^2}{I_1^2}} \quad (69)$$

ومن أجل التوافقيات العليا وبنقريب مقبول يمكن التعبير عن دارة القصر حيث:

$$I'_{si} = I'_r \quad (70)$$

ان ماتعة طور المحرك يمكن الحصول عليها بالعلاقات التالية:

$$R'_{sv} = R_s + R_S / Sv \quad (71)$$

$$X'_{sv} = v(X_{ss} + X_{rs}) \quad (72)$$

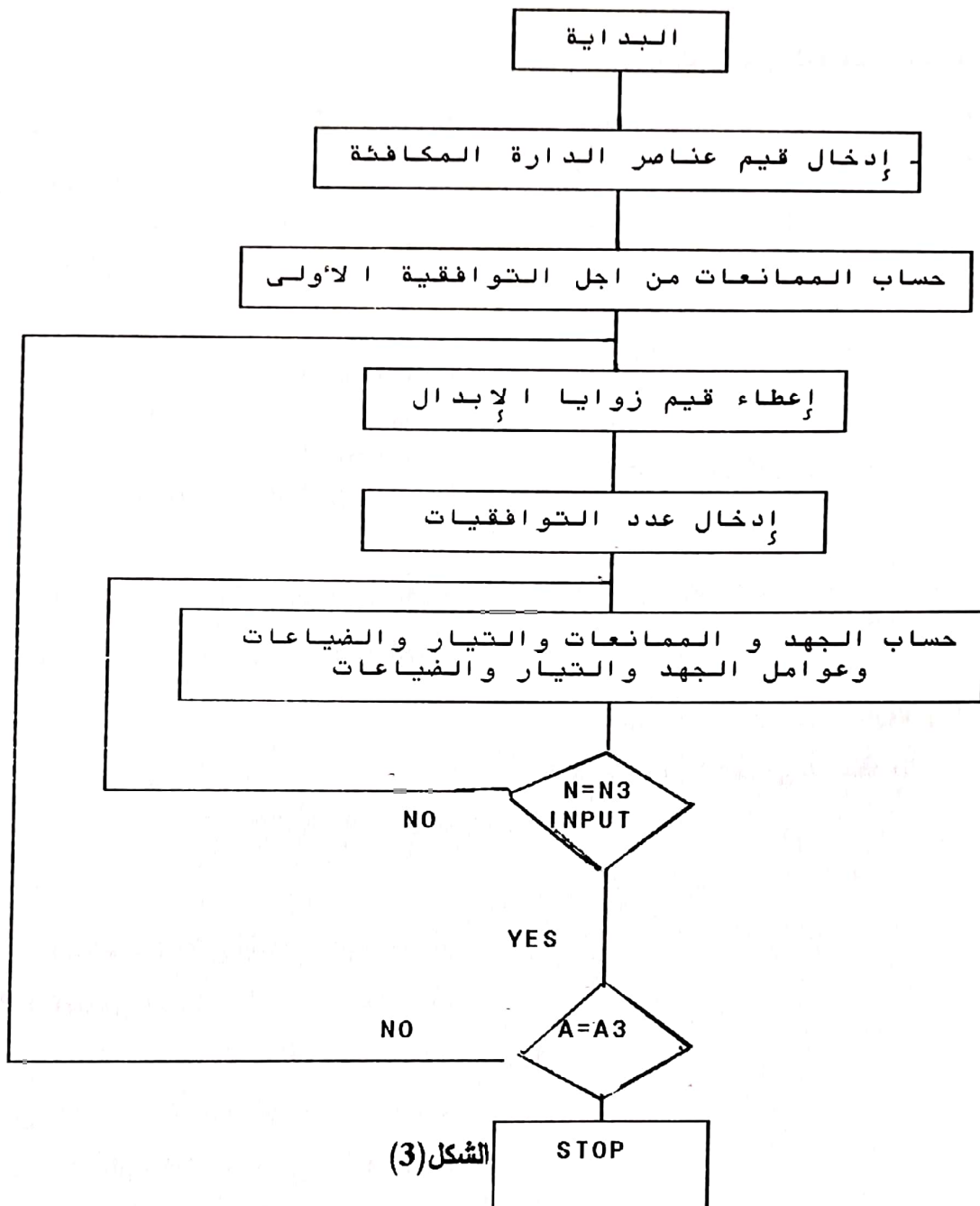
$$Z'_{sv} = \sqrt{(R'_{sv})^2 + (X'_{sv})^2} \quad (73)$$

كما نجد التيار من العلاقة:

$$I'_{sv} = \frac{U_{vm}}{Z_{sv}} \quad (74)$$

ويتم حساب عامل التوافقيات للتيار من العلاقة التقريرية التالية:

$$K_i = \sqrt{\frac{\sum I'_{sv}}{I_1^2}} \quad (76)$$



وسيتم بشكل المنحني الموفق للشكل(B-1) وعند عددوصلات قدر في المجال  $m=1$  في الشكل(B-1). ويمكن اعادة صياغة العلاقة (52) بالشكل

$$U_1 = \frac{4U_d}{\pi} (-1 + 2 \cos \alpha_1) \quad (80)$$

من أجل التوافقية  $v_m$  :

$$U_{vm} = \frac{4U_d}{v\pi} (-1 + 2 \cos \alpha_{1v}) \quad (81)$$

حيث  $\alpha_1$  تتغير من الصفر حتى  $\pi/3$  حتى وذلك بمقدار  $2^\circ$  في كل خطوة.

ولقد تمت الدراسة من أجل عدد وصلات  $m=2$  ومن أجل المنحنيات المبنية في الشكل(2) :

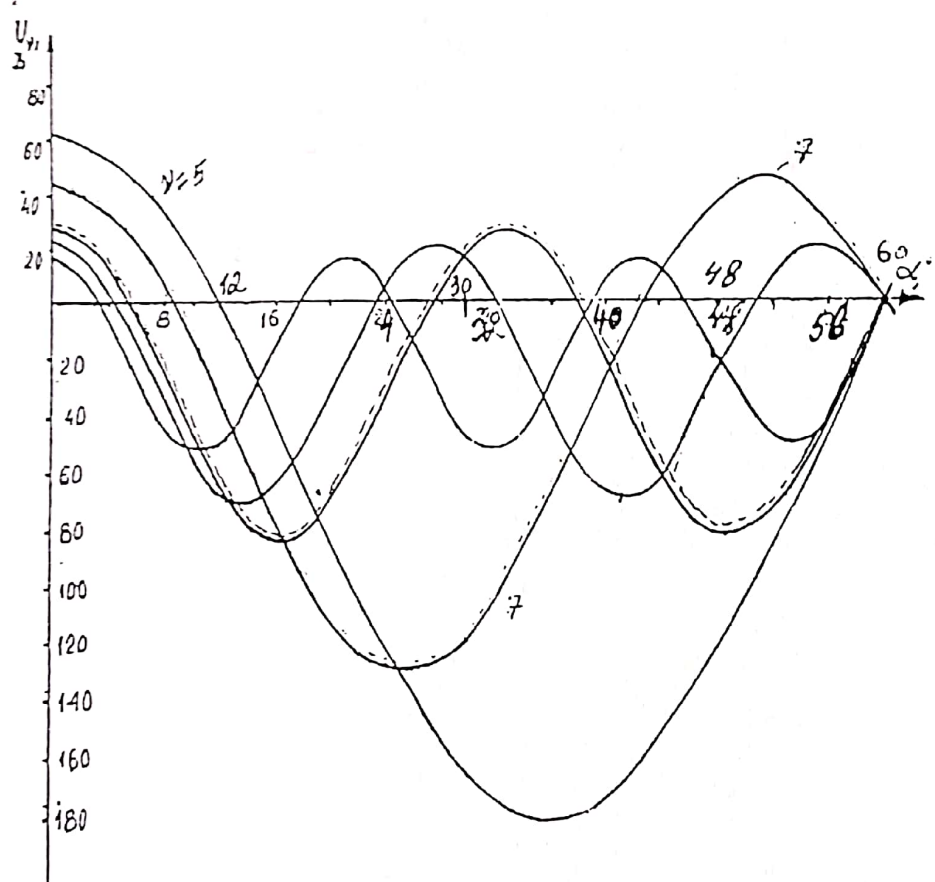
1 - $\alpha_1=0.4117$	$\alpha_2=0.58$
2 - $\alpha_1=0.2878$	$\alpha_2=0.3855$
3 - $U_{vm} = \frac{U_{1m}}{v}$	
4 - $\alpha_1=0.3319$	$\alpha_2=0.4981$
5 - $\alpha_1=0.2822$	$\alpha_2=0.4509$
6 - $\alpha_1=0.28$	$\alpha_2=0.454$
7 - $\alpha_1=0.1738$	$\alpha_2=0.3344$

الرقم(3) رمز لحالة المبدلة عند قدر طوري بزاوية  $\alpha_1$  شكل(1) في هذه الحالة فان:

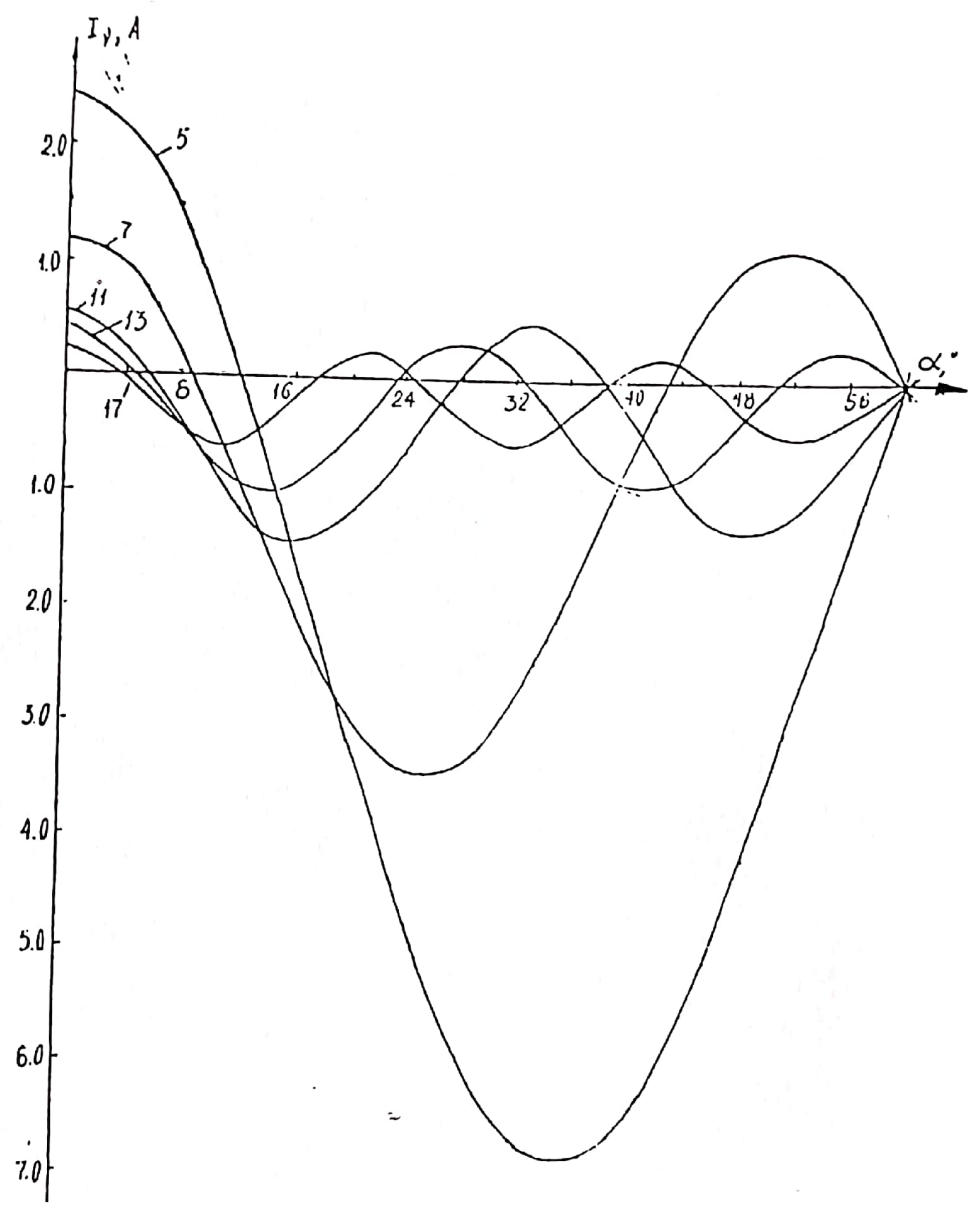
$$U_{vm} = \frac{U_{1m}}{v} \quad (79)$$

وبالاعتماد على نتائج الحسابات تم انشاء المنحني  $f(v) / \Delta P_v = f(N) / \Delta P_1$  شكل(4). ولمقارنة الضياعات الكلية في حالة الأخذ بعين الاعتبار أكثر التوافقيات العليا مع الضياعات الكلية الناتجة الأولى وكذلك عامل توافقيات التيار كتابع لنسبة الزاوية  $\alpha_2$  تم انشاء منحني النسب  $\sum \Delta P_v = f(N)$  ،  $\sum \Delta P_v / \Delta P_1 = f(N)$  ،  $K_U = f(N)$  ،  $K_i = f(N)$  ،

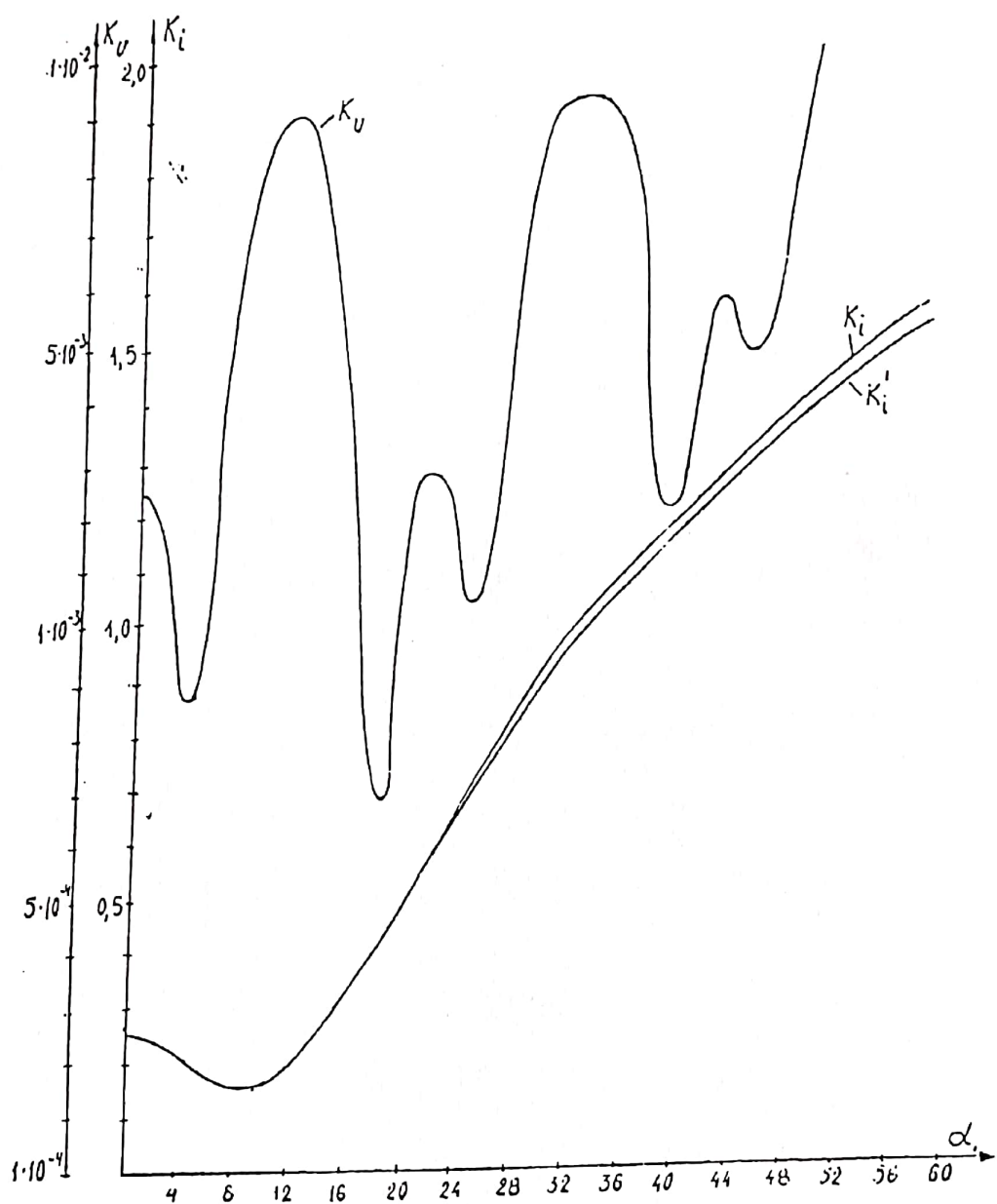
شكل(6) حيث  $N=1.....7$  رقم الاحتمال.



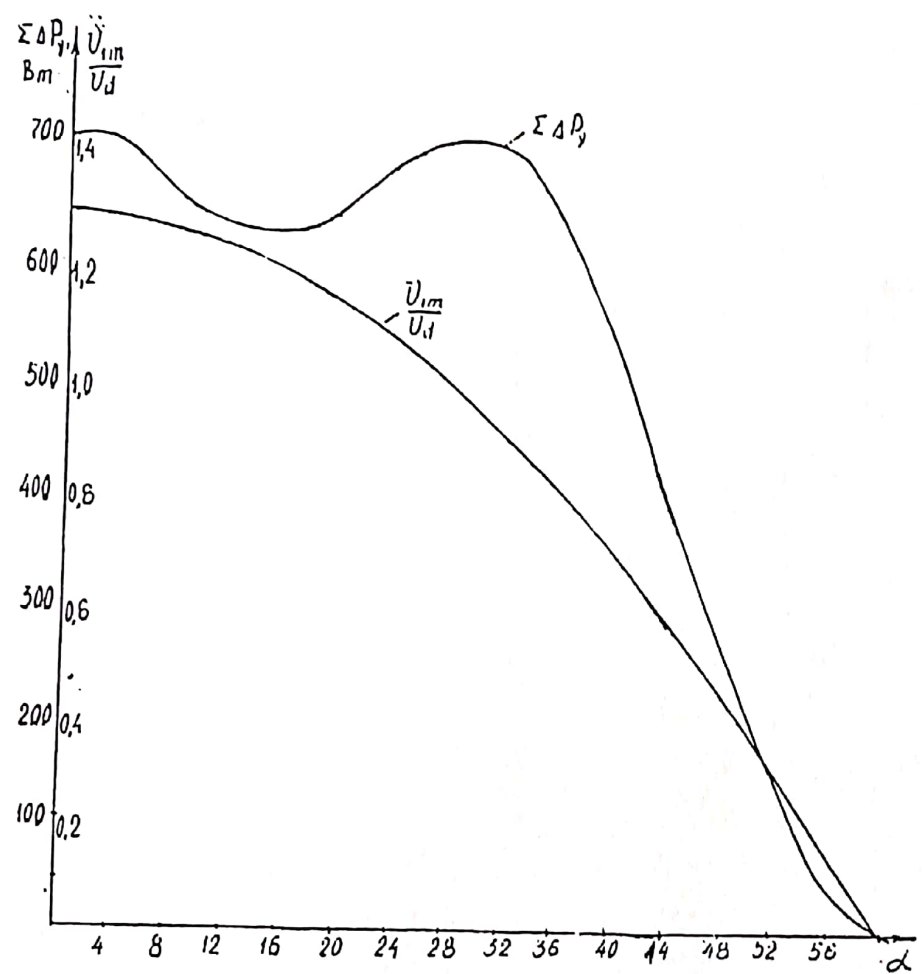
الشكل 4



الشكل 5



الشكل 6



الشكل 7

ويمكن ايجاد الجهد  $U_0$  من الطريقة  $\alpha_2 = 0,3855$  و  $\alpha_1 = 0,2878$   
المثلى وذلك من وجها نظر قيمة الضياعات الكلية.

2- ان اثر التوافقيات يمكن تقديره بالاعتماد على عامل التيار للتوافقيات المحسوبة بالطريقة التقريرية.

3- ومن أجل اشارة الجهد ذات الشكل المستطيل شكل (2-b) القيمة المثلى لزاوية الدفع هي  $\alpha=14^\circ$  حيث تكون الضياعات عند ذلك ذات قيمة أصغرية

4- وقد تم وضع برنامج لحساب القيم المذكورة أعلاه على الحاسوب الشخصي باستخدام لغة البيزك (BASIC) ويعبر البرنامج عن طريقة الحساب.

5- ويمكن استخدام هذا البرنامج للحساب من أجل أي محرك آخر من نفس النوع وذلك بتغيير قيمة المعطيات ويمكن استخدامه في العملية التدريسية وعمليات البحث العلمي في كلية الهندسة الميكانيكية والكهربائية بجامعة تشرين.

ويمكن ايجاد الجهد  $U_0$  من العلاقة (53). وعندما  $\alpha_1=0$  فان:

$$U_{1m} = \sqrt{2}U_{PR} = \sqrt{2} \cdot 220 = 311V$$

نأخذ :  $U_0=\text{const}$  وهذه الحالة تستدعي الدراسة أيضا وخاصة عندما يتغير جهد التوافقية الأولى مع تغير زاوية الدفع  $\alpha$  للدارة الرئيسية في المبدلة.

واعتمادا على نتائج الحساب تم انشاء المنحنيات  $(U_v=F(\alpha))$  شكل (4).

والمنحني  $(I_v=F(\alpha))$  شكل (5) وكذلك المنحنيات  $K_i=F(\alpha)$   $K_v=F(\alpha)$   $K'=F(\alpha)$  و  $(\Delta P_v=F(\alpha))$  ثم المنحنيات  $(\alpha = \Delta P_v/F(\alpha))$  شكل (6)  $U_{1m}/U_0=F(\alpha)$  شكل (7).

وهذه الحسابات تمت من أجل المحرك ذي المواصفات التالية:

$$X_2=2,326 \Omega, X_1=1,427 \Omega, X_m=53,783 \Omega \\ r_1=1,221 \Omega, r_2=0,752 \Omega$$

- تم احتساب التوافقيات حتى الرقم (49)

النتائج:

1- تعتبر طريقة تشكيل الجهد عند الفتح مرتين خلال ربع دور وبزوايا قدر

## ABSTRACT

When regulating the speed of electric engines through the change of the supply voltage or the supply frequency, the thyristoric converters are used as they work on withholding a part of the alternating voltage wave which is applied to the engine. This means that applied voltage will form a non\_alternating regular voltage which can be analysed according to Fourier analysis into groups of alternating constructs of varying frequencies called the high harmonies of the applied voltage. This will be countered, during the operation of the control system at a fixed average speed, by the appearance of impulses in the sign of the electromagnetic supply and the speed sign along the supply voltage. For the evaluation of the electric engine operation in the non\_alternating regular systems a study has been carried out on an induction motor with a shortened circulator "4A1002Y3".

The general radiation method of the electric machine is also used on the assumption that this machine is supplied by a reversing thyroscopic converter which secures a supply in the form of a gradual broad impulse. It is observed that appearance of the harmonies causes a rise in the loss in the engine. The most reliable method for estimating the quality of the supply voltage is the estimation of the losses in the engine which are caused by the high harmonies. The personal computer has been used for the evaluation of the loss in the engine iron when it is supplied by a non\_alternating voltage. The BASIC programme has been also used. The objective of this research is to estimate the effects of the high harmonies on the operation of the electric control engines and to introduce a programme for calculating the losses resulting from these harmonies. The programme can be used for any engine of the same kind. It can also be useful for the scientific research in the performance of the electric control systems. The results confirm the importance of the research for students and scientists working in this field.

**المراجع:**

- 1- الكترونيات القدرة الكهربائية د.م. محمد سعيد عقيل جامعة حلب 1988
- 2- اطروحة الدكتوراه بعنوان :

موسكو 1986 د. علي محمود

3

مينسك 1978

4

موسكو 1980